

شناسایی محدوده آنومال ۲۳۵-U با روش هندسه فراکتالی بر روی شبکه تخمین یافته از روش کریجینگ در محدوده تالاب بندر انزلی

فرشاد دارابی

دانشجوی دکتری معدن، دانشگاه صنعتی امیرکبیر، تهران

اردشیر هزارخانی

دانشکده معدن، دانشگاه صنعتی امیرکبیر، تهران

محمد رضا زارع

دانشجوی دکتری فیزیک، دانشگاه صنعتی اصفهان

تاریخ پذیرش: ۹۳/۱/۱۷

تاریخ دریافت: ۹۲/۱۰/۱۷

farshad_darabi@yahoo.com

چکیده

این مطالعه بر روی داده‌های حاصل از ۲۶ نمونه از رسوبات درون باتلاق و ۷ نمونه خاک محدوده تالاب بندر انزلی، جهت بررسی خاصیت رادیواکتیو (Ra-226, Th-232, Cs-137, K-40 U-235) منطقه صورت گرفته است. شناسایی روند، چگونگی تغییرات و عوامل موثر در ایجاد این ناهمگنی در منطقه متناسب با ماهیت و شرایط جغرافیایی آن مبنای کار بوده است و اهمیت آن از نظر زیست محیطی و شرایط استراتژیک تالاب انزلی چه از نظر توریستی و چه از نظر ملی مورد توجه بوده است. با اعمال تکنیک تخمین شبکه‌ای مناسب توسط روش کریجینگ به هر شبکه با ابعاد کوچکتر مقداری نسبت داده می‌شود که هزینه‌های نمونه‌برداری را کاهش و دقت را بالا می‌برد. ۲۳۸ داده معنادار بدست آمده از روش تخمین شبکه‌ای، با روش هندسه فراکتالی بررسی و جوامع آماری مختلف مشخص و محدوده آنومالی عناصر رادیواکتیو از زمینه تفکیک گردید. محدوده تغییرات اورانیوم در نمونه‌ها Bq/Kg ۱۳/۴۹ تا Bq/Kg ۱۰/۵ باشد که پس از انجام هندسه فراکتالی مقادیر بالای Bq/Kg ۳/۸ به عنوان آنومالی معرفی می‌گردد. کاربرد کودهای کشاورزی، سازاری و شهری را در خود داشته باشند و شرایط گردشگری منطقه ممکن است عامل وجود آنومالی رادیواکتیو باشد.

کلمات کلیدی: رادیواکتیو، واریوگرام، کریجینگ، تخمین شبکه، هندسه فراکتالی، تفکیک آنومالی.

مقدمه

شروع توپوگرافی‌های موجود در موازات دریای خزر (دامنه‌های البرز) سنگ‌های با سیمان آهکی و سنگریزه‌ها و اواریزه‌های خاک که اساساً با منشاء پلیستوسن هستند نیز در منطقه دیده می‌شوند (دارابی، ۱۳۹۱). محدوده تالاب انزلی شامل تالاب‌های آبکنار، سیاکشیم، شیجان و مرکزی می‌باشند که هر کدام از چندین رود تغذیه می‌کنند. تالاب آبکنار نیز در شمال ارتفاعات و جنوب دریاچه خزر واقع شده است (شکل ۲) که از رودهایی همچون چافرود و آبهای زیرزمینی منطقه دریاچه خزر تغذیه می‌کند (Ganjidoust et al., 2009).

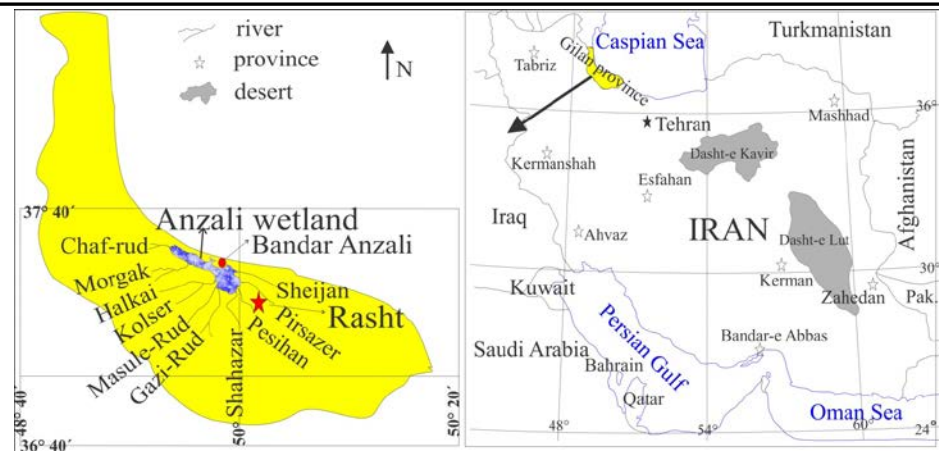
رودهای مرگ، بهمن، خالکابی، اسفند و کلسر از رودهایی هستند که به تالاب سیاکشیم می‌ریزند. رودهای پسیخان و هندخاله به تالاب مرکزی و بیجرود، تشرود، خمام و فرشکی نیز به تالاب شیجان می‌ریزند. هر کدام از این رودها ممکن است مقداری از مواد رادیواکتیو را در خود داشته باشند و یا تا حدودی باعث ایجاد تغییر غلظت عنصری در پوشش سطحی منطقه گردند که منبع آن در بالادست رود باشد که این نوع آلودگی آبهای خاص خود را داشته و آن را نمی‌توان نادیده گرفت چرا که ممکن است عامل آنومالی کاذب باشد (Babaei et al., 2009)، از طرف دیگر کارخانه‌های صنعتی بسیاری نیز در قسمت جنوب، جنوب غربی و غرب تالاب وجود دارند که ممکن است پساب‌ها و آلودگی‌های خود را وارد رودهایی کنند که روانه تالاب سیاکشیم و یا انزلی می‌شوند همچنین دفع فاضلاب بسیاری از شهرهای جنوب و غرب تالاب توسط بعضی از این رودها صورت می‌گیرد (شکل ۳).

بنابراین با توجه به نوع آنومالی عنصری، آب و هوای منطقه، سنگ‌های پوشاننده منطقه، توپوگرافی و جهت جریان رودها، پساب کارخانه‌ها و افق نمونه‌برداری از عوامل مهم و تاثیرگذاری هستند که واقعی بودن و یا کاذب بودن یک آنومالی را می‌توان مشخص نمود.

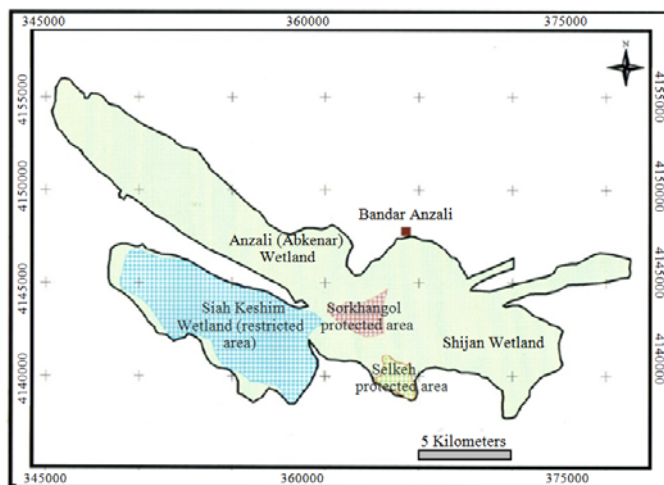
انسانها غالباً در معرض تشعیع مواد رادیواکتیو طبیعی می‌باشند که اساساً ناشی از تمرکز فعالیت رادیونوکلئیدهای موجود در پوسته زمین همانند سری U-238 (Ra-226)، سری Th-232 و K-40 هستند، این مواد ممکن است در مواد مصنوعی و در هوا، آب و غذا و حتی در درون بدن وجود داشته باشند (UNSCEAR, 2000; Nasr et al., 2006). رادیواکتیو طبیعی بطور وسیعی در محیط زمین و در سازندهای زمین‌شناسی مختلف و در خاک، سنگ، رسوب، گیاه، آب و هوا پراکنده می‌باشند (Ajayi and Kuforiji, 2001; Matiullah et al. 2004; Yang et al. 2005). تمرکز و پراکنده‌گی رادیونوکلئیدهای طبیعی Th-232، Ra-226، Cs-137، U-235، K-40 در سنگ و خاک در سراسر جهان یکساخت نیست و بطور گسترده در مکان‌های مختلف تغییر می‌کند. اغلب رسوباتی که در رودخانه‌ها ته نشین می‌یابند سیلت‌ها و شن‌هایی هستند که از هوازدگی و Singh et al. 2005; Veiga et al. 2006). این امکان وجود دارد که منشاء مواد رادیواکتیو موجود در رسوبات محدوده مرداب بندر انزلی رودهای متعددی باشند که به مرداب می‌ریزند که در این راستا ممکن است منشاء نا به هنجری را به رودهای ورودی نسبت دهند که باید این موضوع برسی گردد.

تالاب بندر انزلی در محدوده طول جغرافیایی E ۳۷۷۵۰۰ - ۳۴۵۰۰ و عرض جغرافیایی N ۴۱۵۷۵۰۰ - ۴۱۳۶۵۰۰ واقع می‌باشد (شکل ۱).

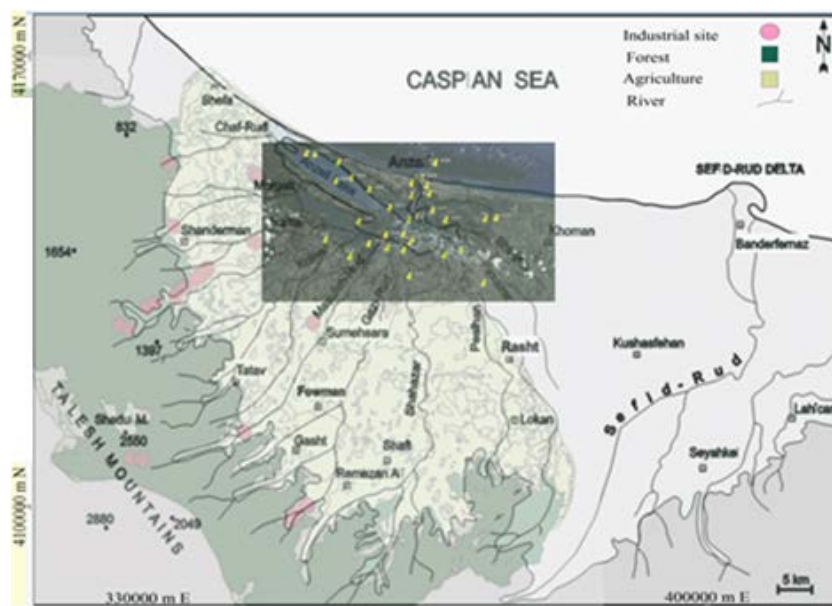
رسوبات جلگه‌های ساحلی خزر (چه در دوران اخیر و چه در دوره پلیستوسن)، تراس‌های قدیمی و باقیمانده شن‌های قدیم ساحلی اکثیریت منطقه را می‌پوشاند و ساحل فعل همراه با شن‌های ساحلی روان در شمال محدوده نمونه‌برداری دیده می‌شود، همچنین در فواصل دورتر و نزدیک به



شکل ۱. موقعیت جغرافیایی تالاب بندر انزلی و رودهای واریز شده به تالاب



شکل ۲. موقعیت جغرافیایی تالاب بندر انزلی، سیاکشیم، شیجان و مرکزی



شکل ۳. موقعیت رودهای منتهی شده به تالاب انزلی و موقعیت نمونه‌های رسوب و نمونه‌های خاک برداشت شده در منطقه مورد مطالعه

هزینه‌های نمونه‌برداری و آنالیز یکی از راهکارهای مفید و سازنده در اکتشاف عناصر می‌باشد (Webster et al., 2001). داده‌های حاصل شده از تخمین شبکه را جهت تعیین منطقه آنومال و امیدبخش مورد استفاده قرار داده و با روش هندسه فراکتالی تفکیک زمینه از آنومالی به عمل آمده است و این مرحله از مهمترین مراحل اولیه اکتشاف اورانیوم و تعیین منطقه امید بخش کانی‌زایی در مقایس ناحیه‌ای می‌باشد (Bruce et al., 2004). نمودار جریان مراحل کار جهت جدایش و تفکیک زمینه از آنومالی بصورت (شکل ۴) ترسیم شده است.

به منظور انجام مطالعات اکتشافی مواد رادیواکتیو، Ra-226, U-235, Th-232, Cs-137, K-40 مردانه بندر انزلی و محل برخورد تعدادی از آبراهه‌ها و رودها نشات گرفته است (شکل ۵). نرمال‌سازی داده‌ها در نرمافزار WinGslib و با روش گوسی صورت گرفته است و محاسبات ترسیم واریوگرام‌ها و تخمین آنومالی بر روی نرمال شده عناصر انجام گردیده است. در توصیف گام به گام (شبکه‌ای) و کمی‌سازی تغییرات فضایی خاک واریوگرام‌ها اهمیت بسزایی دارد. از این‌رو، ضروری است که برای داشتن مدلی که فرایند تغییرات فضایی را توصیف نماید از تکنیک‌های مناسب جهت تخمین پارامترها استفاده گردد (Minasny et al., 2005).

کمی تغییرات فضایی خاک (McBratney and Pringle, 1999)، تعیین ناهمسانگردی در یک منطقه (Bohling, 2005)، پیش‌بینی خصوصیات خاک در مقایس محلی و یا منطقه‌ای با روش کریجینگ، و همچنین طراحی تعداد بهینه نمونه‌ها جهت برداشت می‌باشد. از این‌رو یک مدل خوب و تکنیک مناسب برای تخمین پارامترهای واریوگرام ضروری است (Minasny et al., 2005). معمولاً یک واریوگرام از داده‌هایی مخصوص و یا روش‌های مماثل و برآش نمودن متعاقب یک مدل تئوری بر روی یک واریوگرام اجرا شده با استفاده از روش حداقل مربعات غیر خطی بوجود می‌آید (Webster and Oliver, 2001). جهت ترسیم واریوگرام‌ها در ابتدا باید فاصله گام، تلوانس، شاع تاثیر، حداقل و حداکثر تعداد نمونه جهت تخمین مشخص گردد و سپس با روش کریجینگ و از روی نمودار واریوگرام‌های عناصر به تعیین راستای روند بیشترین و کمترین تغییرات پرداخته شود. جهت تخمین شبکه نمونه‌برداری با دقت بالا و با هدف کاهش هزینه‌های نمونه‌برداری و آنالیز این عمل بسیار مفید واقع خواهد شد (Darabi et al., 2012).

با توجه به اینکه مبنای سنجش و میزان غلظت در نمونه‌های رسود و نمونه‌های خاک با هم متفاوت است از این‌رو نمی‌توان آنالیز داده‌های نمونه‌های برداشت شده از رسوبات منطقه را با داده‌های نمونه‌های خاک مخلوط کرد بنابراین جهت نرمال‌سازی و تخمین آنومالی و همچنین اعمال روش هندسه فراکتالی تنها داده‌های غلظت نمونه‌های رسوب را به کار می‌گیریم، از طرفی جامعه آماری نمونه‌های خاک که ۷ نمونه را شامل می‌گردد تعداد نمونه‌های کافی جهت تخمین و یا بررسی جداگانه را ندارد. در بررسی نمونه‌های رسوب مشاهده شده است که کمترین غلظت U در نمونه‌ها (Bq/Kg) $1/0.5$ و بیشترین آن $13/49$ است که انحراف معیار کل مقادیر غلظت $2/28$ بدست آمده است. با نرمال‌سازی داده‌ها انحراف معیار داده‌ها از $2/28$ به $0/9582$ و میانگین آنها از $3/7462$ به $-0/4916$ می‌رسد که به مقادیر ایده‌آل نرمال شده یعنی انحراف معیار برابر ۱ و میانگین صفر نزدیک شده است همانگونه که ملاحظه می‌گردد با نرمال‌سازی داده‌ها به توزیع نرمال نزدیکتر می‌شوند (شکل ۶).

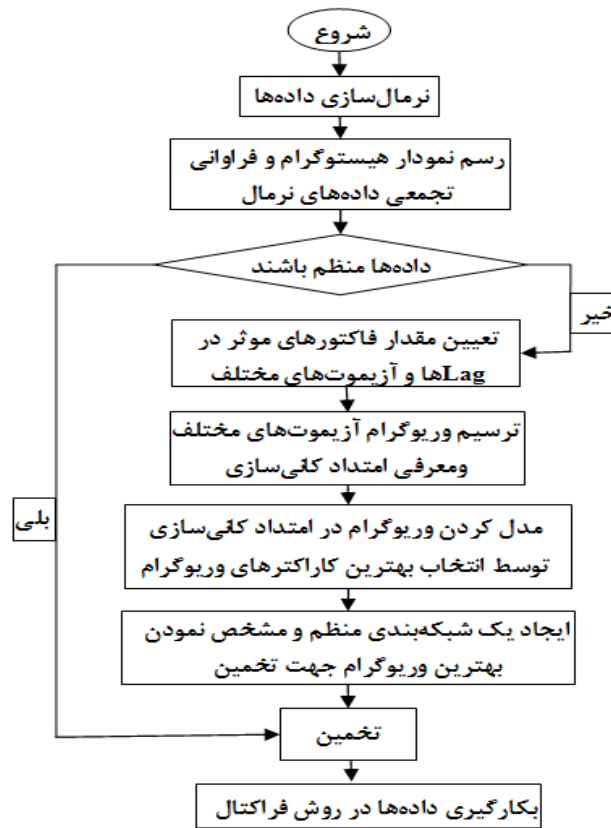
با مطالعات پیشین صورت گرفته در مناطق مختلف دنیا منشاء ناهنجاری‌های رادیواکتیو به عوامل متعددی نسبت داده شده است. کودهای تجاری استفاده شده در کشور بزرگ حاوی عناصر رادیواکتیو بوده است (Yamazaki and Geraldo, 2003; Saueia et al., 2004) که میزان محتويات وابسته به سنگ منشاء بوده است (Becegato et al., 2008).

مردانه از لذت متأثر از رودهای آلوده ای می‌باشد که به آن وارد می‌شوند و اصلی ترین فعالیت جهت جلوگیری از افزایش آلوگی، ممانعت از ورود آبهای آلوده صنعتی و فاضلابهای شهری به آن رودها می‌باشد. با هدف سنجش میزان رادیواکتیویته در بخش‌های مختلف کشور در کارهای مشابه (Saghatchi 2010) در استان زنجان با اسپکترومتری اشعه گاما به این نتیجه رسیدند که غلظت متوسط فعالیت عناصر Ra-226 و K-40 در خاک منطقه به ترتیب برابر $497/4 \pm 162/6$ $Bqkg^{-1}$ و $88/5 \pm 22/9$ $Bqkg^{-1}$ بوده است که از مقدار متوسط جهانی بالاتر بوده است. کارهای مشابه دیگری در قسمت‌های مختلف دنیا صورت گرفته است که هدف و مبنای آنها نشان دادن میزان اکتیویته عناصر Ra-226، Th-232، Cs-137، U-235، K-40 و Patras-Rion پوده است از این جمله تحقیقات می‌توان به حوضه اقیانوسی در جنوب یونان (Papaefthymiou et al., 2011)، محدوده هیماچال در هند (Rani et al., 2005) و محدوده دریاچه بارولوس در کشور مصر (Reefy et al., 2006) و بسیاری از تحقیقات دیگر بر روی نمونه‌های رسوب و خاک در کشورهای مختلف دنیا اشاره کرد.

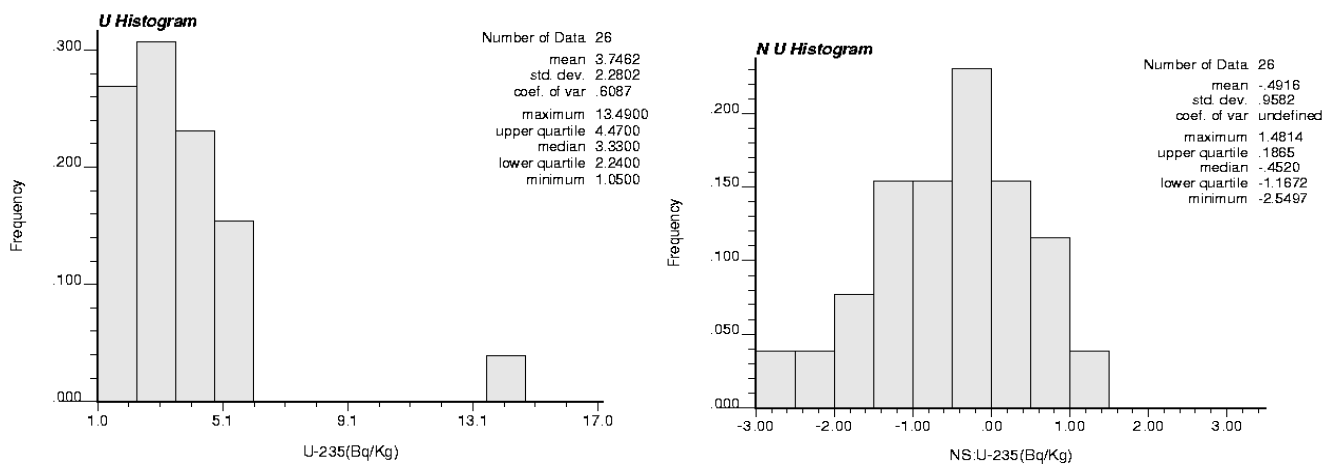
مواد و روش‌ها

به منظور تعیین میزان غلظت عناصر پرتوزای طبیعی اورانیوم (U-235)، توریوم (Th-232)، پتاسیم (K-40)، رادیوم (Ra-226) و سزیم (Cs-137) در محدوده تالاب ارزی نمونه برداری صورت پذیرفت. غلظت هر پنج عنصر نامبرده با واحد (Bq/Kg) تعیین شده است. نوع نمونه‌ها، ۲۶ نمونه رسوب و ۷ نمونه آبی با حجم بالا (۱۰۰ لیتر) بصورت پراکنده و فاقد نظم خاص (تصادفی) بوده است. آنالیز با استفاده از روش طیف نگاری گاما با آشکارسازهای با قدرت تفکیک بالا صورت گرفته و دستگاه‌های آنالیز، با استفاده از آشکارسازهای ژرمانیومی فوق خالص (HPGe) ثابت هم محور از نوع P، با باردهی‌های نسبی $38/5$ و 55 درصد و همچنین آشکارسازهای ژرمانیومی فوق خالص (HPGe) قابل حمل هم محور از نوع P، با بازدهی نسبی $41/3$ درصد بوده است. نمونه‌ها پس از جمع آوری، به آزمایشگاه نمونه سازی خاک و رسوب منتقل شده و به مدت ۷۲ ساعت در دمای محیط قرار گرفتند تا در این مرحله آب نمونه‌ها تبخیر گردد. سپس تحت دمای 150 درجه سانتی گراد و در مدت 24 ساعت در درون کوره قرار گرفتند. سپس با استفاده از آسیاب‌های فکی و گلوله ای به صورت کامل خرد و نرم شده و از مش 50 عبور داده شدند. در ادامه مقدار 950 گرم از هر نمونه در درون ظروف استاندارد مارینلی قرار گرفتند و درب ظروف آبپندی شدند. پس از گذشت یک ماه و سپری شدن زمان تعادل رادیواکتیو، نمونه‌ها با استفاده از آشکارسازهای مورد نظر تحت طیف نگاری گاما قرار گرفتند. قله‌های 143 ، 163 و 185 کیلوالکترون ولت در طیف نمونه‌ها نمایانگر حضور U-235 در هر نمونه می‌باشد. با توجه به منحنی کالیبراسیون بازدهی آشکارسازهای بکار گرفته شده و سطح خالص زیر هر انرژی از U-235، میزان فعالیت U-235 از هر نمونه مورد نظر ارزیابی شده است.

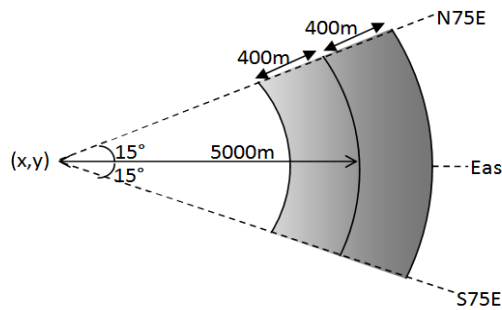
نمونه‌های رسوب با استفاده از واریوگرام‌های ترسیم شده برای آنها در آزمیوت‌های مختلف اقدام به تخمین شبکه در ابعاد $m \times m \times 1000$ در مقدار ۱۰۰۰ گردیده شده است. تخمین شبکه نمونه‌برداری با دقت بالا و با هدف کاهش



شکل ۴. نمودار جریان مراحل واریوگرافی، تخمین و اجرای روش فرآکتالی



شکل ۵. نمودار هیستوگرام عنصر U و نرمال شده آن (NS منظور نرمالایز شده غلظت های باشد)



شکل ۶. تشریح تلوانس h برای مجموعه‌ای از جفت داده‌ها در فاصله پراکندگی با طول h تلوانس با طول m $400 \pm$ در دامنه h و $15 \pm$ درجه در جهت مورد نظر پوشش داده می‌شود و هر نمونه در محدوده سایه زده می‌تواند جفت نمونه (x,y) باشد

روی هم تاثیر دارند و بعد از این فاصله واریوگرام به سقف خود رسید. (شکل ۸) شمای کلی قرارگیری یک قطاع را با مساحت تحت پوشش آن نشان می‌دهد که در این برسی تلوانس برای یک لاغ به میزان کمتر از نصف آن یعنی 400 m در محاسبات وارد شده است، با توجه به شکل مشخص است که جهت تخمین نقطه (x,y) تا فاصله $m = 5000$ تمام ضایعی یک لاغ (m) 1000 m با تلوانس $m = 400 \pm$ از مرکز لاغ می‌تواند جفت نمونه مورد بررسی واقع گردد، زاویه مرکزی این قطاع همانطور که ذکر گردید 15° می‌باشد و نمونه در (شکل ۷) می‌باشد قرار گیرد. مقدار زیادی از مساحت قطاع‌های مختلف با یکدیگر هم پوشانی دارند، ولی با محاسبه میزان اثر هر نمونه در محدوده قطاع نظریش می‌توان به منطقی دست یافته که اثر این همپوشانی‌ها را به طور کمی محاسبه و خنثی کند. در نهایت مقدار تخمینی سلول مورد تخمین بر اساس میانگین وزن دار n نمونه مؤثر در آن به صورت زیر محاسبه می‌شود که این محاسبه در نرم افزار WinGslib و با انتخاب روش کریجینگ معمولی و با فرض غلبه موئلفه همبستگی مکانی و بکارگیری مستقیم مشخصات واریوگرام، ارزش مقداری (X) در یک نقطه با معادله زیر محاسبه می‌شود:

$$x = \sum w_i x_i \quad (رابطه ۲)$$

بنابراین برای هر سلول تخمین یافته U-235، سه ضریب مربوطه محاسبه و ضریب نهایی تعیین و همچنین برای یک تخمین مناسب واریوگرام با بیشترین دامنه تاثیر انتخاب می‌گردد و در ادامه با استفاده از خصوصیات آن واریوگرام، آنومالی با روش کریجینگ تخمین زده می‌شود و مقدار مربوطه به هر سلول محاسبه می‌گردد. کل منطقه $(m \times 18000 \text{ m} \times 30000 \text{ m})$ که در آن 26 نمونه از رسوبات منطقه برداشت شده است با تخمین کریجینگ به یک شبکه $1000 \text{ m} \times 1000 \text{ m}$ تبدیل گشته است و تعداد 540 سلول در قالب شبکه جدید بوجود می‌آید و به هر سلول عددی نسبت داده شده است که از این داده‌ها برای تعیین حد آستانه به روش فراکتال استفاده می‌گردد. با توجه به اینکه شعاع تاثیر انتخابی در تخمین شبکه 5000 m و حداقل 2 نمونه باید در این فاصله وجود داشته باشد بسیاری از این سلول‌ها در این شبکه تخمین برابر صفر دارند و در کل 238 داده معنادار باقی می‌مانند.

یک شبکه دو بعدی از مقادیر تخمین یافته که تغییرات غلظت U-235 را به صورت تدریجی برای داده‌های نرمال نشان می‌دهد ترسیم شده است (شکل ۹). مزیت روش فوق در اعمال محاسبات روش فرکتالی غلظت - مساحت در این است که هر دو متغیر غلظت و مساحت برای هر سلول به راحتی در دسترس است و با استفاده از این مقادیر و اعمال روش هندسه فراکتال جوامع آماری مختلف مشخص می‌گردد (Darabi et al., 2012).

واریوگرافی و تخمین شبکه

محاسبه واریوگرام U-235 در هر نقطه، در راستای یک آزمیوت مشخص بعد از نظر گرفتن تعداد زیادی جفت داده بدست می‌آید با اندازه‌گیری‌های متناوب از پیوستگی‌های فضایی واریوگرام جفت‌های مرتبط محاسبه می‌گردد. فاصله این جفت‌ها به صورت مضربی از طول گام محاسبه می‌گردد. این سنجش‌های متناوب به خاطر غلبه بر تنکی داده‌ها، مقادیر خارج از رده، دسته بندی و اشتباهات نمونه برداری انجام می‌شود. یک واریوگرام بر اساس مجموعه‌ای از ارتباطات تعریف می‌گردد و یا به طور کلی تر سنجشی از تغییرات فضایی جهت مطالعات زمین‌آماری می‌باشد (Clayton and Andre, 1998). واریوگرام $\gamma(h)$ جهت بیان کردن کمیت وابستگی فضایی نمونه‌ها بیان می‌شود و با رابطه تعریف می‌گردد:

$$\gamma(h) = \frac{1}{2m(h)} \sum_{i=1}^{m(h)} [z(x_i) - z(x_i + h)]^2 \quad (رابطه ۱)$$

که در آن $m(h)$ تعداد جفت نمونه‌های بکار رفته در محاسبات به ازای فاصله h و z مقدار عیار کمیت مورد اندازه‌گیری است (Regli et al., 2004; Lopez et al., 2005; Wang et al., 2008; Sumfleth et al., 2008). جهت تفہیم چگونگی این ارتباط و ترسیم واریوگرام آزمیوت‌های مختلف، کاراکترهای واریوگرام در راستای آزمیوت 45° درجه برای تالاب بندر انزلی ترسیم و تفسیر گشته است و محدوده تحت پوشش هر لاغ در این راستا بخوبی مشخص می‌باشد. از مرکز شروع این راستای آزمیوت، قطاعی با تلوانس 15° درجه پوشش داده می‌شود تا فاصله‌ای که از آزمیوت مورد نظر به پهنه‌ای باند انتخابی یعنی 5000 m برسد. از آنجا که فاصله هر لاغ 400 m است و با توجه به اینکه تلوانس تقریباً نصف مقدار 1000 m می‌باشد مقدار $400 \text{ m} \pm (1000 \text{ m})$ شماره لاغ می‌باشد منطقه تحت پوشش یک لاغ می‌باشد بنابراین نمونه‌های واقع در این قطاع در محاسبات ترسیم واریوگرام آن لاغ دخیل هستند (شکل ۶). واریوگرام U-235 در راستای آزمیوت‌های مختلف ترسیم گردیده و مشاهده شده است که امتداد آزمیوت‌های 135° درجه با توجه به راستای بیشترین پیوستگی و حداقل تغییرات در امتداد کانسار و 45° درجه عمود بر امتداد کانسار می‌باشد چرا که در یک شعاع تاثیر یکسان با واریوگرام 135° درجه تغییرات تندتری را برای 2 نشان می‌دهد. مدل برآش شده با روش گوسی تطبیق بسیار بالایی با واریوگرام ترسیم شده در منطقه نشان می‌دهد (شکل ۷) و این برآش بسیار مشهودتر از روش‌های فیت کردن با مدل‌های کروی، نمایی و اثر چاله می‌باشد. بنابراین مدل توزیع اورانیوم در محدوده اطراف تالاب بندر انزلی توزیع گوسی می‌باشد. واریوگرام‌ها اثر قطعه‌ای برابر صفر و یک منطقه اینژوتروپ، با بیشترین دامنه افقی 12000 m در هر دو امتداد را نشان می‌دهند، یعنی نمونه‌ها تا این فاصله در آزمیوت‌های مختلف بر

هندرسون فراكتال

با توجه به آنومالی و غلظت‌های بالای عنصر U که در دو قسمت شمال غربی و جنوبی منطقه مقادیر بالایی را نشان می‌دهد این احتمال وجود دارد که علت این مقادیر بالا از این عناصر به خاطر جریانات ورودی رودهایی است که به محدوده وارد شده است و رسوی بودن نمونه‌ها هم این نظر را تقویت می‌کند. ممکن است که مقادیر آنومال اورانیوم در شمال غربی منطقه و در تالاب آبکنار ناشی از ورود رود چافرود باشد که این ناهنجاری را به وجود آورده باشد. از طرف دیگر در قسمت جنوبی منطقه نیز ممکن است رودهای هندخاله و پسیخان تاثیراتی داشته‌اند.

بطور کلی در مقایسه با زون‌های ساحلی و باتلاق‌ها در سایر نقاط دنیا میزان مواد رادیواکتیو نمونه‌های برداشت شده در مرداد ارزی مقادیر قابل توجهی نشان نمی‌دهد و بیشتر غلظت‌ها متوجه آلودگی‌های ورودی به منطقه است که این امر باید با نمونه‌برداری‌های سنگ و از محیط لیتوژئوشیمیایی یعنی جایی که تغییرات سطحی و آب و هوای منطقه کمتر روی آن تاثیر داشته است تائید گردد.

نتیجه گیری

با ترسیم واریوگرام عناصر رادیواکتیو در راستای آزمیوت‌های مختلف کمترین پیوستگی (بیشترین تغییرات) و بیشترین پیوستگی (کمترین تغییرات) واریوگرام به ترتیب در راستای آزمیوت‌های ۴۵ درجه و ۱۳۵ درجه مشخص شد. با توجه به تغییرات واریوگرام مدل گوسی با چگونگی تغییر این روند بیشترین برازش را نشان می‌دهد و نمونه‌ها تا شعاع ۱۲۰۰۰ m بر روی هم تاثیر داشته‌اند. با نتایج حاصل از واریوگرافی، تخمین آنومالی مشخص گردید که در قسمت غربی تالاب ارزی (آبکنار) و در قسمت جنوبی تالاب مرکزی اثراتی از آنومالی U-235 وجود دارد که این غلظت‌ها به بالای Bq/Kg ۴/۵ نیز می‌رسد. تخمین آنومالی با روش کریجینگ یک روش مناسب در تعیین موقعیت‌های آنومال و نسبت دادن یک مقدار به یک شیکه با کمک تعداد محدود نمونه‌های برداشت شده در اطراف آن نقطه می‌باشد.

جهت تخمین نقاط نمونه‌برداری نشده به محاسبه میزان اثر هر نمونه در محدوده قطاع مورد تخمین پرداخته شده است و وزن دادن با توجه به میزان اثر بخشی داده‌های مربوط به هر نمونه در محدوده قطاع نظریش صورت گرفته است. نقطه حاصل از تقاطع دو خط انتهایی در نمودار فراكتالی بعنوان حد تفکیک جوامع آنومالی از زمینه در نظر گرفته می‌شود. برای عنصر U سه جامعه آماری مختلف قابل برداشت است که نقطه شکست ۰/۴۶ (Bq/Kg) برابر با ۳/۱ (Bq/Kg) و حدوداً ۰/۵۷ برابر ۳/۷ (Bq/Kg) نقطه جدایش جوامع می‌باشد (شکل ۱۱). با جدایش نمونه‌های موجود در هر سری، ۹۹ نمونه دارای مقادیر بیشتر از $3/7$ (Bq/Kg) هستند (سری سوم) که نشان‌دهنده آنومالی منطقه هستند (شکل ۱۱). رودهای هندخاله و پسیخان و چافرود بیشترین تأثیر را در حمل آلاینده‌ها و یا فاضلاب‌های صنعتی یا شهری و یا به نوعی در این محدوده‌ها بیشترین غلظت مواد رادیواکتیو دیده می‌شود.

هدف از بکارگیری روش‌های جداسازی آنومالی‌ها تعریف حد آستانه‌ای است، به طوریکه بتوان نمونه‌ها را بر اساس مقادیر عنصر کلاسی‌بندی کرد. نمونه‌های با مقادیر بزرگتر از Z (میزان مشخصی از غلظت) به عنوان جامعه آنومالی و مقادیر کوچکتر از Z به عنوان جامعه زمینه معرفی می‌شوند. مطابق (شکل ۱۰) اگر Z_A حد پایین آنومالی و Z_B حد بالای زمینه باشد می‌توان نمونه‌های با مقادیر کمتر از Z_A را جزء زمینه و نمونه‌های بیشتر از Z_B را جزء آنومالی در نظر گرفت. اگر دو Z_B و Z_A همپوشانی داشته باشد، در این صورت دو مقدار متفاوت A و B را خواهیم داشت ($Z_A < Z_B$) و نمونه‌های مابین این دو مقدار به طور یقین کلاسی‌بندی نمی‌شوند، زیرا این نمونه‌ها می‌توانند به هر دو جامعه آنومالی و زمینه متعلق باشند (Cheng et al., 1996).

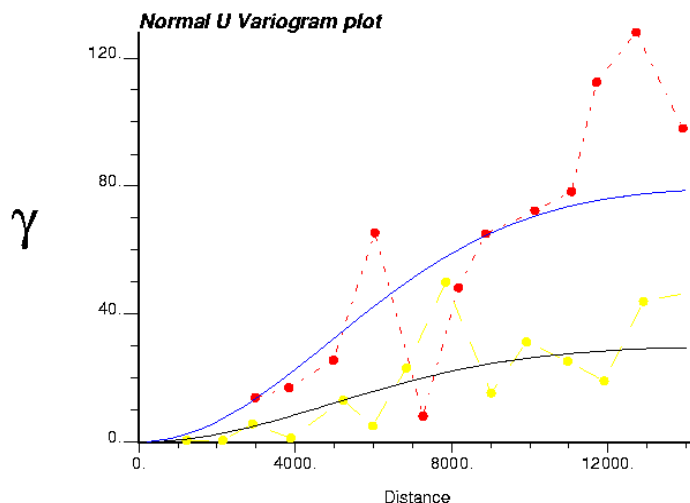
کاربرد این روش در شناسایی جوامع آنومالی از جوامع زمینه می‌باشد انواع روش‌های آنالیز فراكتالی شامل روش عیار-مساحت، عیار-محیط، عیار- فاصله و روش طیف توان می‌باشد. (Cheng et al., 1996) روش فراكتالی غلظت-مساحت را ابداع و در ادامه توسعه (Changjiang et al., 2003) در سال ۲۰۰۳ جهت جدایش آنومالی ژئوشیمیایی بکار گرفته شد و در این بررسی نیز استفاده شده است. این نمودارها ارتباط نسبی-نمایی بین مساحت‌های (ρ) با مقدار عیار المان‌های بیشتر از ρ و مقادیر عیار ρ را نشان می‌دهد:

$$A(\rho) \propto C\rho^{-\alpha} \quad (رابطه ۳)$$

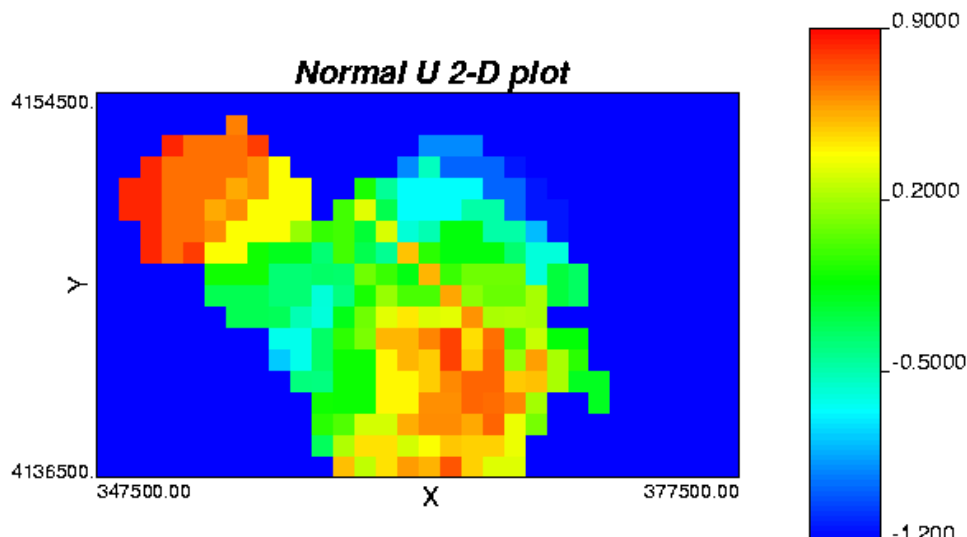
که در آن، C یک مقدار ثابت و α توانی است که ممکن است چندین مقدار برای دامنه‌های متفاوت از مقادیر عیار ژئوشیمیایی در نمودار عیار-مساحت را مشخص کند (Hassani et al., 2009; Cheng et al., 2002; Li et al., 2003). جهت بکارگیری این روش داده‌های حاصل از تخمین U-235 توسعه روش کریجینگ در کلاس‌هایی دسته‌بندی می‌گردد و با انجام یک سری محاسبات آماری و لگاریتمی سازی فراوانی و طول دسته‌ها و اعمال مساحت شبکه‌ها نمودار فراكتالی اورانیوم ترسیم می‌گردد. نمودار لگاریتمی بدست آمده یک که با برآش خطوطی مستقیم بر آن که ضریب همبستگی حداقل ۹۰٪ داشته باشند جوامع آماری مختلف مشخص می‌گردد (Darabi et al., Ford et al., 2008, 2012). روش هندسه فراكتالی سه جامعه آماری را از یکدیگر تفکیک نموده و مقادیر بالای $3/7$ (Bq/Kg) را به عنوان جامعه آماری آنومال معرفی کرده است.

بحث

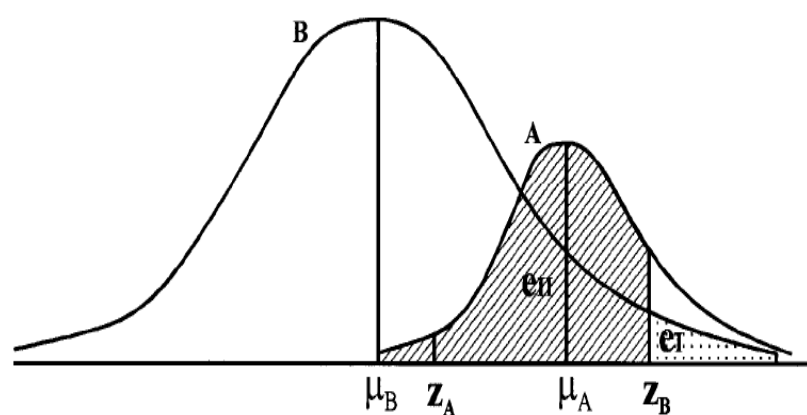
بیشترین نمونه‌های آنومال در قسمت جنوبی تالاب مرکزی تحت تأثیر رودهای پسیخان و هندخاله هستند. ممکن است فاضلاب و یا پساب کارخانه‌ها و یا یک منطقه آنومال در بالا دست عامل این ناهنجاری باشد از طرفی این تعبیر نیز برای نمونه‌های آنومال در قسمت غربی تالاب ارزی قابل برداشت است. با توجه به مطالعات انجام شده و نتایج بدست آمده باید بررسی‌های بیشتری در قسمت جنوب تالاب مرکزی ارزی و غرب تالاب آبکنار صورت گیرد و نمونه‌های بیشتری برداشت نمود تا با قطبیت بیشتر بتوان در مورد آنومالی و یا کاذب بودن آن نتیجه‌گیری نمود. اگر چه عوامل متعددی همچون استفاده از کودهای مختلف در شالیزارهای برنجکاری (کشاورزی)، موقعیت نزدیک به ساحل و شرایط توربیستی، آلودگی‌های صنعتی سازیزیر شده به تالاب و در بعضی موارد فاضلاب‌ها ممکن است مقادیر بالایی را در منطقه نیز داشته باشد اما در مقایسه با دیگر مناطق دنیا هر کدام از موارد نامبرده این میزان تمرکز را طبیعی تفسیر نمود.



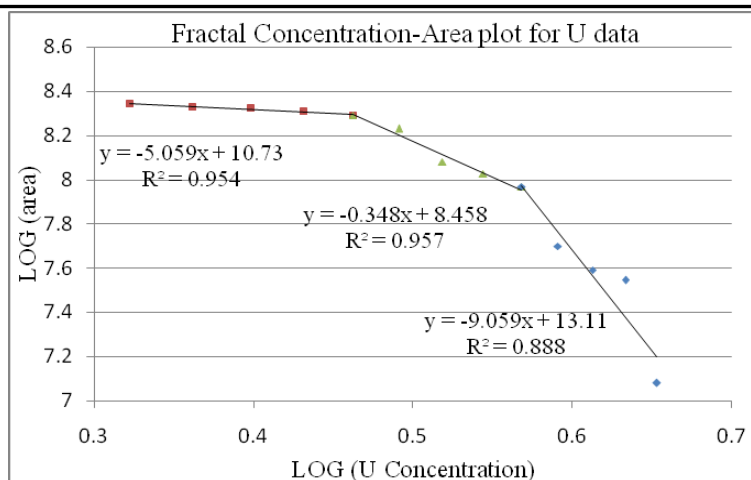
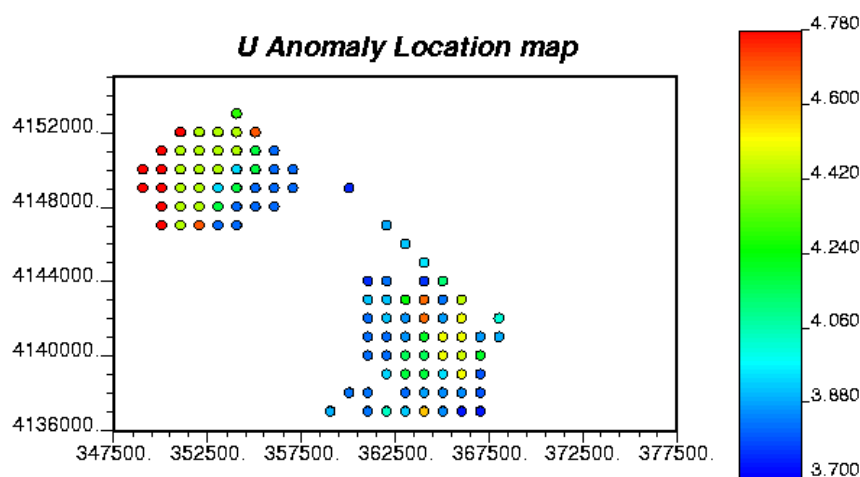
شکل ۷. واریوگرام برآورده با مدل گوسی در جهت آزمیوت‌های ۱۳۵ درجه (امتداد کانسار) و ۴۵ درجه (عمود بر امتداد کانسار) برای عنصر U



شکل ۸. شبکه تخمین دو بعدی داده‌های نرمال اورانیوم با روش کریجینگ



شکل ۹. توزیع فراوانی دو جامعه آنومالی (A) و زمینه (B). (Cheng et al, 1996)

شکل ۱۰. نمودار فرکتالی غلظت - مساحت U با تفکیک حد جدایش جوامع مختلف در محدوده تابع ارزیشکل ۱۱. موقعیت جغرافیایی نمونه‌های آنومال تفکیک شده U با روش هندسه فرکتالی در شبکه تخمین یافته جدید

منابع

دارایی گلستان ف., (۱۳۹۱). تعیین ارتباط عناصر رادیواکتیو تابع بندر ارزی با روش‌های تحلیل چند متغیره و شناسایی ناهنجاری آنها توسط هندسه فرکتال، گزارش فعالیت تحقیقاتی نخبگان وظیفه بخش دفاع، دانشگاه صنعتی مالک اشتر.

- Ajaii IR, Kuforiji OO, 2001: Natural radioactivity measurements in rock samples of Ondo and Ekiti states in Nigeria. Radiat Meas 33:13–16.
- Babaei H., Khodaparast, S. H, 2009. Study on the total Petroleum Hydrocarbon (TPH) and heavy metals (Zn, Cu, Fe, Pb, Cr, Cd and Hg) concentrations in Anzali Wetland outlets, Islamic Azad University Ahvaz Branch, Ecobiology of Wetlands V 1, 33-46.
- Becegato, V. A., Ferreira F, J.F., Machado, W.C.P., 2008. Concentration of Radioactive Elements (U, Th and K) Derived from Phosphatic Fertilizers in Cultivated Soils, Brazilian archives of biology and technology, Vol. 51, n. 6 : pp.1255-1266.
- Bohling, G., 2005- Introduction to Geostatistics and variogram analysis; Kansas geological survey, 20p.
- Dickson, Bruce, L., 2004, "Recent advance in aerial gamma ray surveying" Journal of Environmental Radioactivity 76, 2004 225-236.
- Changjiang, Li., Tuhua, Ma., Junfa, Shi., 2003, "Application of a fractal method relating concentrations and distances for separation of geochemical anomalies from background". Journal of Geochemical Exploration 77 , 167–175.
- Cheng, Q., Agterberg, F.P., Bonham-Carter, G.F., 1996, "A spatial analysis method for geochemical anomaly separation", Journal of Geochemical Exploration 56,183- 195.
- Cheng, Q., Li, Q., 2002, "A fractal concentration-area method for assigning a color palette for image representation", Computers and Geosciences 28 , 567–575.
- Clayton, V. Deutsch., Andre, G. Journel., 1998, "GSLIB Geostatistical Software Library and User's Guide", New York-Oxford, OXFORD UNIVERSITY PRESS.



- Darabi-Golestan, F., Ghavami-Riabi, R., Khalokakaie, R., Asadi-Haroni, H., Seyedrahimi-Nyaragh, M., 2012. Interpretation of lithogeochemical and geophysical data to identify the buried mineralized area in Cu- Au porphyry of Dalli- Northern Hill, Arab J Geosci 5, 10.1007/s12517-012-0686-3.
- El-Reefy, H. I., Sharshar, T., Zaghloul, R., Badran, H. M., Distribution of gamma-ray emitting radionuclides in the environment of Burullus lake: I. soils and vegetations. J. Environ. Radioact. 87, 148–169 (2006).
- Ford, A., Blenkinsop, T.G. 2008, "Combining fractal analysis of mineral deposit clustering with weights of evidence to evaluate patterns of mineralization: Application to copper deposits of the Mount Isa Inlier, NW Queensland, Australia", Ore Geology Reviews 33,435–450.
- Ganjidoust, H., Ayati, B., Khara, H., Khodaparast, S. H., Akbarzadeh, A., Ahmadzadeh Layeghi, T., Nezami, S. A., Zolfi Nejad, K., 2009. Investigation of Environmental Pollution in Shiah Keshim Wetland, Environmenal Sciences Vol.6, No.3, 117-132.
- Hassani, H., Daya, A.A., Alinia, F., 2009, "Application of a Fractal Method Relating Power Spectrum and Area for Separation of Geochemical Anomalies from Background", Australian Journal of Basic and Applied Sciences, 3(4): 3307-3320.
- López-Granados, F., Jurado-Expósito, M., Peña-Barragán, J.M., García-Torres, L., 2005, "Using geostatistical and remote sensing approaches for mapping soil properties", Europ. J. Agronomy 23, 279–289.
- Matiullah, Ahad. A., Rehman, S., Feheem, M., 2004. Measurement of radioactivity in the soil of Bahawalpur division, Pakistan. Radiat Prot Dosim 112:443–447.
- McBratney, A.B., Pringle, M.J., 1999. Estimating average and proportional variograms of soil properties and their potential use in precision agriculture. Precision Agriculture 1, 125– 152.
- Minasny, B., McBratney, A. B., 2005. The Matérn function as a general model for soil variograms, Geoderma 128,192– 207.
- Nasr, S., El-Gamal, A., Hendawi, I., Naim, M., 2006. Statistical evaluation of natural radioactivity in sediments along the Egyptian Mediterranean coast, Proceedings of the 2nd Environmental Physics Conference, 18-22 Feb. 2006, Alexandria, Egypt.
- Papaefthymiou, H.V., Chourdakis, G., Vakalas, J., 2011. Natural radionuclides content and associated dose rates in fine-grained sediments from patras-rion sub-basines, Greece. Radiation Protection Dosimetry Vol. 143, No. 1, pp. 117–124.
- Rani, A., Singh, S. 2005. Natural radioactivity levels in soil samples from some areas of Himachal Pradesh, India using g-ray spectrometry. Atmos. Environ. 39, 6306–6314.
- Reglia, Ch., Rosenthaler, L., Huggenberger, P., 2004. "GEOSSAV: a simulation tool for subsurface applications", Computers and Geosciences 30, 221–238.
- Saghatchi, F., Salouti, M., Eslami, A., Sharifi, A., 2010. Natural radioactivity levels of ^{226}Ra and ^{40}K in soil of Zanjan province, Iran, Radiation Protection Dosimetry , pp. 1–4.
- Saueia, C. H., Mazzilli, B. P., Fávaro, D. I. T., 2004. Natural radioactivity in phosphate rock, phosphogypsum and phosphate fertilizers in Brazil. Journal of Radioanalytical and Chemistry, v. 264, no.2 445-448.
- Singh, S., Rani, A., Mahajan, RK., 2005. ^{226}Ra , ^{232}Th and ^{40}K analysis in soil samples from some areas of Punjab and Himachal Pradesh, India using gamma ray spectrometry. Radiat Meas 39:431–439.
- Sumfleth, K., Duttman, R., 2008. "Prediction of soil property distribution in paddy soil landscapes using terrain data and satellite information as indicators", ecologic al indicators 8, 485 – 501.
- UNSCEAR (2000) Sources and effects of ionizing radiation. United Nations, New York.
- Veiga, R., Sanches, N., Anjos, RM., Macario, K., Bastos, J., Iguatemy, M., Aguiar, JG., Santos, AMA., Mosquera, B., Carvalho, C., Baptista, FM., Umisedo, NK., 2006. Measurement of natural radioactivity in Brazilian beach sands. Radiat Meas 41:189–196.
- Wang, Huizan., Zhang, Ren., Liu, Kefeng., 2008. "Improved Kriging Interpolation Based on Support Vector Machine and Its Application in Oceanic Missing Data Recovery", International Conference on Computer Science and Software Engineering.
- Webster, R., Oliver, M. A., 2001. Geostatistics for Environmental Scientists. John Wiley and Sons, Chichester.
- Xinwei, L., 2004. Natural radioactivity in some building materials and by-products of Shaanxi, China. J Radional Nucl Chem 262:775– 777.
- Yang, Y. X., Wu, X. M., Jiang, Z. Y., Wang, W. X., Lu, J. G., Lin, J., Wang, L. M., Hsia, Y. F., 2005. Radioactivity concentrations in soils of the Xiazhuang granite area, China. Appl Radiat Isot 63:255–259.
- Yamazaki, I. M., Geraldo, L. P., 2003. Uranium content in phosphate fertilizers commercially produced in Brazil. Appl. Radiat. Isot. 59:133-136.